

## ФИЗИКА

УДК 517.9:535.4

## ПРЕОБРАЗОВАНИЯ МЕЛЕРА-ФОКА В ЗАДАЧАХ ДИФРАКЦИИ ВОЛН НА НЕЗАМКНУТЫХ СТРУКТУРАХ ВО ВРЕМЕННОЙ ОБЛАСТИ

© 2005 г. В. А. Дорошенко, В. Ф. Кравченко, член-корреспондент РАН В. И. Пустовойт

Поступило 06.06.2005 г.

На основании идей, изложенных в [1, 2], применение впервые интегрального преобразования Конторовича–Лебедева к решению первой и второй краевых задач для уравнения Гельмгольца с трехмерной незамкнутой биконической геометрией позволило понизить их размерность и получить решение электродинамической задачи в частотной области [3]. В работе предложен и обоснован новый метод решения краевых задач для волнового уравнения в клиновидных и конических областях, основанный на использовании интегрального преобразования Мелера–Фока [4] в сочетании с методом сингулярных интегральных уравнений или методом парных сумматорных уравнений [5]. Применение его к решению краевых электродинамических задач во временной области для незамкнутых конических структур позволяет получить аналитическое решение и провести качественный анализ их рассеивающих свойств.

## ПОСТАНОВКА ЗАДАЧИ

Рассмотрим задачу дифракции волн на неограниченной тонкой конической структуре (рис. 1)  $\Sigma$ , состоящей из двух имеющих общую вершину и ось конусов  $\Sigma_1, \Sigma_2$  ( $\Sigma = \bigcup_{j=1}^2 \Sigma_j$ ) с углами раствора  $2\gamma_j$  и периодически прорезанными вдоль образующих  $N$  щелями, имеющими соответственно угловую ширину  $d_j$ ,  $j = 1, 2$ . Период структуры  $l = \frac{2\pi}{N}$  и  $d_j$  – величины двугранных углов, которые образованы пересечением плоскостей, проведенных через ось конусов и кромки щелей. Источником поля является точечный источник, расположенный

в точке  $M_0(\mathbf{r}_0)$ . Поле источника во времени меняется по закону, определяемого функцией  $f(t - t_0)$  (источник включается в момент  $t = t_0$ ). Введем с началом в вершине конической структуры сферическую систему координат  $r, \theta, \phi$ , в которой каждый из конусов определяется уравнением  $\Sigma_j: \theta = \gamma_j$ . Требуется определить потенциал  $v^{(x)}(\mathbf{r}, t)$ , который в каждый момент времени удовлетворяет следующим условиям:

волновому уравнению

$$\left( \Delta - \frac{1}{a^2} \frac{\partial^2}{\partial t^2} \right) v^{(x)}(\mathbf{r}, t) = -\tilde{F}^{(x)}(\mathbf{r}, t), \quad (1)$$

$\mathbf{r} \notin \Sigma, \quad \mathbf{r}_0,$

$$\tilde{F}^{(x)}(\mathbf{r}, t) = \frac{b^{(x)}}{r} \delta(\mathbf{r} - \mathbf{r}_0) f(t - t_0);$$

начальному условию

$$v^{(x)} \equiv 0 \equiv \frac{\partial v^{(x)}}{\partial t}, \quad t \leq t_0; \quad (2)$$

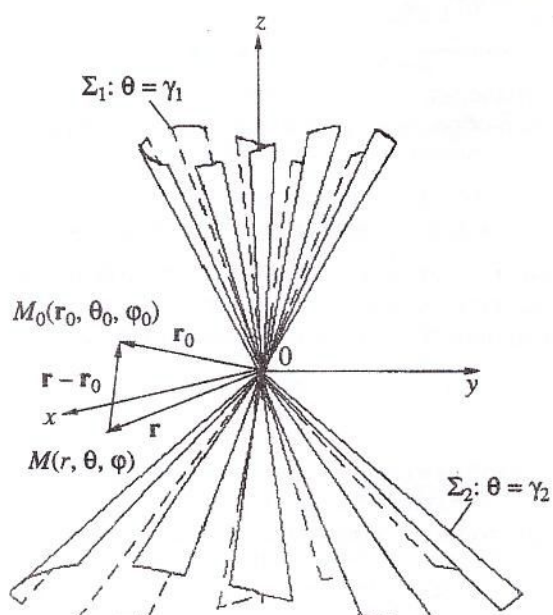


Рис. 1. Геометрия структуры.

Харьковский технический университет  
радиоэлектроники  
Институт радиотехники и электроники  
Российской Академии наук, Москва  
Научно-технологический центр  
универсального приборостроения  
Российской Академии наук, Москва

краевому условию

$$\frac{\partial^{\chi-1}}{\partial n^{\chi-1}} \left( \frac{\partial v^{(\chi)}}{\partial t} \right) \Big|_{\Sigma} = 0; \quad (3)$$

условию ограниченности энергии

$$\iiint_V \left( \left| \frac{\partial v^{(\chi)}}{\partial t} \right|^2 + |\nabla v^{(\chi)}|^2 \right) dV < \infty, \quad (4)$$

где индекс  $\chi = 1, 2$  определяет тип поверхности и источника. Краевая задача в постановке (1)–(4) согласно [6, 7] имеет единственное решение. Представим потенциал  $v^{(\chi)}(\mathbf{r}, t)$  в виде

$$v^{(\chi)}(\mathbf{r}, t) = v_0^{(\chi)}(\mathbf{r}, t) + v_1^{(\chi)}(\mathbf{r}, t),$$

где

$$v_0^{(\chi)} = -\frac{b^{(\chi)}}{4\pi r_0 R} f\left(t - t_0 - \frac{1}{a}R\right) \eta\left(t - t_0 - \frac{1}{a}R\right)$$

есть потенциал источника,  $v_1^{(\chi)}(\mathbf{r}, t)$  – искомый потенциал Дебая, соответствующий возмущенному конусом полю,  $\eta(\xi)$  – функция Хевисайда,  $R = |\mathbf{r} - \mathbf{r}_0|$ .

### ФУНКЦИЯ ГРИНА. ИНТЕГРАЛЬНЫЕ ПРЕОБРАЗОВАНИЯ МЕЛЕРА-ФОКА

Для решения краевой задачи (1)–(4) используем функцию Грина, через которую выразим  $v^{(\chi)}(\mathbf{r}, t)$ :

$$v^{(\chi)}(\mathbf{r}, t) = \frac{b^{(\chi)}}{r_0} \int_0^{t-t_0} G^{(\chi)}(\mathbf{r} - \mathbf{r}_0, z) f(t - t_0 - z) dz. \quad (5)$$

#### Функция Грина

$$G^{(\chi)}(\mathbf{r}, t) = G_0(\mathbf{r}, t) + G_1^{(\chi)}(\mathbf{r}, t), \quad (6)$$

$$\delta\left[t - t_0 - \frac{R}{a}\right]$$

где  $G_0(\mathbf{r}, t) = \frac{\delta\left[t - t_0 - \frac{R}{a}\right]}{4\pi R}$  – функция Грина свободного пространства, удовлетворяет волновому уравнению (1) с  $\delta$ -образной правой частью, начальному условию (2), краевому условию (3) и условию ограниченности энергии (4). Потенциал  $v_1^{(\chi)}(\mathbf{r}, t)$  находим в виде (5), а исходная задача сводится к нахождению функции  $G_1^{(\chi)}(\mathbf{r}, t)$  для сложной конической структуры  $\Sigma$ . Для этой цели используем преобразование Лапласа функции  $G^{(\chi)}(\mathbf{r}, t)$  по временному параметру

$$G^{(\chi), (1)} = G_1^{(\chi), (1)}(\mathbf{r}) = \int_0^{+\infty} G^{(1)}(\mathbf{r}, t) e^{-st} dt, \quad \text{Res} > 0. \quad (7)$$

Найдем изображение  $G^{(\chi), (1)}(\mathbf{r})$ , которое должно удовлетворять следующим требованиям:

неоднородному уравнению Гельмгольца

$$(\Delta - q^2) G^{(\chi), (1)}(\mathbf{r}) = -e^{-st_0} \delta(\mathbf{r} - \mathbf{r}_0), \quad (8)$$

$$\mathbf{r} \notin \Sigma_0, \quad \mathbf{r}_0, \quad q = \frac{s}{a};$$

краевому условию

$$\frac{\partial^{\chi-1}}{\partial n^{\chi-1}} G^{(\chi), (1)} \Big|_{\Sigma} = 0; \quad (9)$$

принципу предельного поглощения;

условию ограниченности энергии.

Считаем, что  $q > 0$ . Тогда в конечных формах проведем аналитическое продолжение. Согласно (6) запишем  $G^{(\chi), (1)}$  в виде

$$G^{(\chi), (1)}(\mathbf{r}) = G_0(\mathbf{r}) + G_1^{(\chi)}(\mathbf{r}),$$

где

$$G_0(\mathbf{r}) = \frac{e^{-(qR+st_0)}}{4\pi R} = \frac{2}{\pi^2} \int_0^{+\infty} \tau \operatorname{sh} \pi \tau \widehat{G}_0^{(\chi)} K_{it}(qr) \frac{dt}{\sqrt{r}},$$

$$\widehat{G}_0^{(\chi)} = \sum_{m=-\infty}^{+\infty} \widehat{\alpha}_{m\tau}^{(\chi)} \widehat{U}_{m\tau}^{(0)} e^{im\Phi},$$

$$U_{m\tau}^{(0)}(\theta, \theta_0) = \begin{cases} P_{-1/2+i\tau}^m(\cos \theta) P_{-1/2+i\tau}^m(-\cos \theta_0), \\ \theta < \theta_0, \\ P_{-1/2+i\tau}^m(-\cos \theta) P_{-1/2+i\tau}^m(\cos \theta_0), \\ \theta_0 < \theta, \end{cases} \quad (10)$$

$$\widehat{\alpha}_{m\tau}^{(\chi)} = \frac{(-1)^m}{4 \operatorname{ch} \pi \tau} \frac{K_{it}(qr_0)}{\sqrt{r_0}} \frac{\Gamma\left(\frac{1}{2} - m + i\tau\right)}{\Gamma\left(\frac{1}{2} + m + i\tau\right)} e^{-i(st_0 + m\varphi_0)}.$$

Здесь  $K_{it}(qr)$  – функция Макдональда,  $P_{-1/2+i\tau}^m(\cos \theta)$  – присоединенная функция Лежандра первого рода,  $\Gamma(z)$  – гамма-функция. Для решения задачи (8), (9) используем интегральные преобразования Конторовича–Лебедева

$$\widehat{g}(\tau) = \int_0^{+\infty} g(r) \frac{K_{it}(qr)}{\sqrt{r}} dr, \quad (11)$$

$$g(r) = \frac{2}{\pi^2} \int_0^{+\infty} \tau \operatorname{sh} \pi \tau \widehat{g}(\tau) \frac{K_{it}(qr)}{\sqrt{r}} dt. \quad (12)$$

Представим  $G_1^{(\chi), (1)}(\mathbf{r})$  в виде (12). Тогда

$$G_1^{(\chi), (1)}(\mathbf{r}) = \frac{2}{\pi^2} \int_0^{+\infty} \tau \operatorname{sh} \pi \tau \widehat{G}_1^{(\chi)} \frac{K_{it}(qr)}{\sqrt{r}} dt; \quad (13)$$

$$\widehat{G}_1^{(\chi), (1)} = \sum_{m=-\infty}^{+\infty} \widehat{b}_{m\tau}^{(\chi)} \widehat{U}_{m\tau}^{(1)}(\theta, \varphi), \quad (14)$$

$$\widehat{b}_{m\tau}^{(\chi)} = -\widehat{\alpha}_{m\tau}^{(\chi)} P_{-1/2+i\tau}^m(-\cos \theta_0) P_{-1/2+i\tau}^m(\cos \gamma_2), \quad \gamma_2 < \theta_0;$$

$$\widehat{U}_{m\tau}^{(\chi)} = \begin{cases} \sum_{n=-\infty}^{+\infty} \widehat{\alpha}_{mn}^{(\chi)} P_{-1/2+i\tau}^{m+nN}(\cos\theta) e^{i(m+nN)\varphi}, \\ 0 < \theta < \gamma_1, \\ \sum_{n=-\infty}^{+\infty} [\widehat{\beta}_{mn}^{(\chi)} P_{-1/2+i\tau}^{m+nN}(\cos\theta) + \\ + \widehat{\xi}_{mn}^{(\chi)} P_{-1/2+i\tau}^{m+nN}(-\cos\theta)] e^{i(m+nN)\varphi}, \quad \gamma_1 < \theta < \gamma_2, \\ \sum_{n=-\infty}^{+\infty} \widehat{\zeta}_{mn}^{(\chi)} P_{-1/2+i\tau}^{m+nN}(-\cos\theta) e^{i(m+nN)\varphi}, \\ \gamma_2 < \theta < \pi, \end{cases} \quad (15)$$

где  $\widehat{\alpha}_{mn}^{(\chi)}$ ,  $\widehat{\beta}_{mn}^{(\chi)}$ ,  $\widehat{\xi}_{mn}^{(\chi)}$ ,  $\widehat{\zeta}_{mn}^{(\chi)}$  – неизвестные коэффициенты, не зависящие от параметра  $q$ . На основании результатов [3, 8], можно показать, что функция Грина  $G_{\kappa}^{(\chi)}(\mathbf{r}, t)$  (6) ( $\kappa = 0, 1$ ) может быть представлена и притом единственным образом в виде интеграла

$$G_{\kappa}^{(\chi)}(\mathbf{r}, t) = \int_0^{+\infty} \tau \operatorname{th} \pi \tau \tilde{G}_{\kappa}^{(\chi)} P_{-1/2+i\tau}(\operatorname{ch} b) d\tau, \quad (16)$$

где

$$\tilde{G}_0 = \frac{1}{r} \eta \left( t - t_0 - \frac{r+r_0}{a} \right) \sum_{m=-\infty}^{+\infty} a_{m\tau} U_{m\tau}^{(0)} e^{im\varphi}, \quad (17)$$

$$\begin{aligned} \tilde{G}_1^{(\chi)} &= -\frac{1}{r} \eta \left( t - t_0 - \frac{r+r_0}{a} \right) \sum_{m=-\infty}^{+\infty} a_{m\tau} \widehat{U}_{m\tau}^{(\chi)} \times \\ &\times P_{-1/2+i\tau}^m(-\cos\theta_0) P_{-1/2+i\tau}^m(\cos\gamma_2), \\ a_{m\tau} &= \frac{1}{4\pi r_0} (-1)^m e^{-im\varphi_0} \frac{\Gamma\left(\frac{1}{2}-m+i\tau\right)}{\Gamma\left(\frac{1}{2}+m+i\tau\right)}, \quad (18) \end{aligned}$$

$$\operatorname{ch} b = \frac{a^2(t-t_0)^2 - r^2 - r_0^2}{2rr_0}, \quad b \in [0, +\infty).$$

Интегральное представление типа (16) является разновидностью интегрального преобразования Мелера-Фока [4], которое можно записать как

$$\Psi(b) = \int_0^{+\infty} \tau \operatorname{th} \pi \tau \hat{\Psi}(\tau) P_{-1/2+i\tau}(\operatorname{ch} b) d\tau, \quad (19)$$

где

$$\hat{\Psi}^{(\tau)} = \int_0^{+\infty} \operatorname{sh} b \Psi(b) P_{-1/2+i\tau}(\operatorname{ch} b) db, \quad b \in [0, +\infty). \quad (20)$$

Функция Грина  $G_1^{(\chi)}(\mathbf{r}, t)$  (6) для сложной конической структуры  $\Sigma$  находится с использованием интегральных преобразований (19), (20), представлений (17), (18), краевого условия (3) и условия соединения в щелях. В результате приходим к двум связанным системам функциональных уравнений, вид которых приведен в [3, 9], для определения неизвестных коэффициентов функции  $\widehat{U}_{m\tau}^{(\chi)}$  (15). Решение этих систем может быть получено с помощью метода сингулярных интегральных уравнений или метода задачи Римана–Гильберта [3, 5]. Приведем выражения для потенциалов Дебая в некоторых частных случаях сложной конической структуры и функции  $f(t - t_0)$ .

$$A. f(t) = e^{i\omega t}, \quad \alpha = \pm 1, \quad t_0 = 0.$$

Одиночный конус  $\Sigma_1$  с  $N$  узкими щелями ( $\chi = 2$ ,  $\frac{d_1}{l} \ll 1$ ,  $\theta_0 = \pi$ ):

$$\begin{aligned} v_1^{(2)} &= v_{1\text{спл}}^{(2)} + \frac{1}{-\frac{1}{N} \ln\left(\frac{1-u_1}{2}\right)_0} \int_{-\infty}^{\infty} a_{i\tau}^{*(2)} \frac{K_{i\tau}(\tilde{q}r)}{\sqrt{r}} \frac{F_{i\tau}^*}{\tilde{W}_{i\tau}^{(2)}} \times \\ &\times A_{i\tau}^{*(2)} P_{-1/2+i\tau}(-\cos\theta) d\tau + \frac{1}{-\frac{1}{N} \ln\left(\frac{1-u_1}{2}\right)} \times \\ &\times \int_0^{\infty} a_{i\tau}^{*(2)} \frac{K_{i\tau}(\tilde{q}r)}{\sqrt{r}} \frac{F_{i\tau}^*}{\tilde{W}_{i\tau}^{(2)}} A_{i\tau}^{*(2)} \times \\ &\times \sum_{n \neq 0} \frac{1}{1 - \frac{|n|}{n} \varepsilon_{n,2}^{*(2)} V_{n-1}^{n-1}(u_1)} \frac{P_{-1/2+i\tau}^{nN}(-\cos\theta)}{\frac{d}{d\gamma_2} P_{-1/2+i\tau}^{nN}(-\cos\gamma_2)} \times \\ &\times e^{inN\varphi} d\tau + O(1-u_1), \quad \gamma_1 < \theta < \pi, \quad (21) \end{aligned}$$

$$\tilde{W}_{i\tau}^{(2)} = F_{i\tau}^* + \frac{1}{-\frac{1}{N} \ln\left(\frac{1-u_1}{2}\right)},$$

$$F_{i\tau}^* = \frac{1}{A_{i\tau}^{*(2)} - \frac{1}{N} \sum_{p \neq 0} \frac{1}{|p|} \varepsilon_{p,2}^{*(2)}},$$

$u_1 = \cos\left(\frac{\pi d_1}{l}\right)$ ,  $\tilde{q} = i\alpha k$ ,  $k$  – волновое число;  $a_{i\tau}^{*(2)}$ ,  $\varepsilon_{n,\tau}^{*(2)}$  и  $A_{i\tau}^{*(2)}$  – известные коэффициенты, функции  $V_{n-1}^{n-1}(u_1)$  определены в [10], а  $v_{1\text{спл}}^{(2)}$  является потенциалом для сплошного конуса  $\Sigma_1$  [11]. Представление (21) справедливо вдали от щелей.

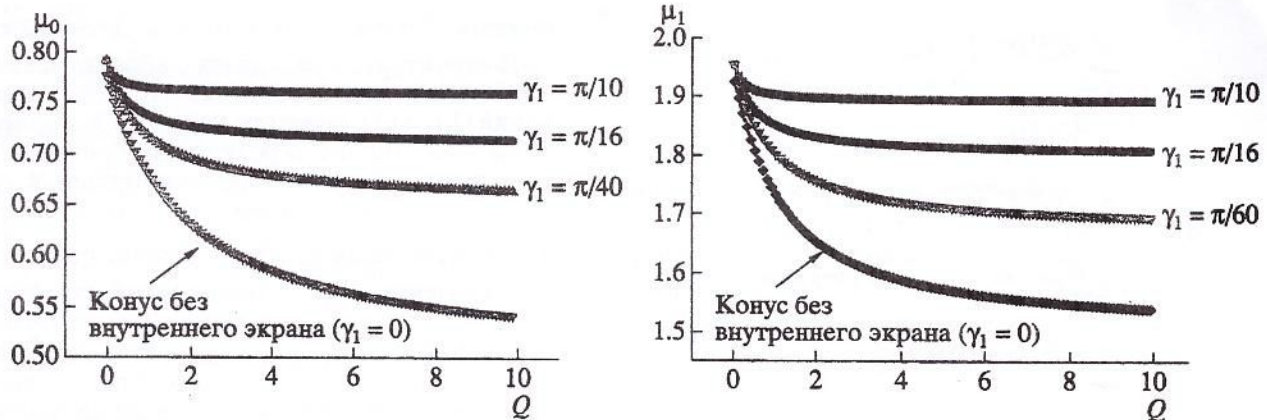


Рис. 2. Зависимость  $\mu_n(Q, \gamma_1, \gamma_2)$  от параметра заполнения  $Q$  для различных углов  $\gamma_1$ ;  $\gamma_2 = \frac{\pi}{8}$ .

Б.  $f(t - t_0) = \delta(t - t_0)$ ,  $\chi = 1$ ,  $\theta_0 = \pi$ .

Коническая структура  $\Sigma$  состоит из сплошного конуса  $\Sigma_1$  и полупрозрачного конуса  $\Sigma_2$ , который определяется существованием предела

$$Q = \lim_{\substack{N \rightarrow +\infty \\ d_2/l \rightarrow 1}} \left[ -\frac{1}{N} \ln \cos \frac{\pi d_2}{2l} \right].$$

$$\psi_1^{(1)} = \eta \left( t - t_0 - \frac{r+r_0}{a} \right) \sum_{n=0}^{+\infty} \Psi_{\mu_n}(\gamma_1, \gamma_2) \times$$

$$\times P_{-1/2+\mu_n}(-\cos \theta) Q_{-1/2+\mu_n}(\operatorname{ch} b), \quad \gamma_2 < \theta < \pi, \quad (22)$$

$$\Psi_{\mu}(\gamma_1, \gamma_2) = -\frac{ab}{\pi r_0^2} \mu \cos \mu \times$$

$$\times \frac{\Delta_{\mu}(\gamma_1, \gamma_2)}{P_{-1/2+\mu}(-\cos \gamma_1)} \frac{d}{d\mu} \nabla_{\mu} P_{-1/2+\mu}(-\cos \gamma_2), \quad (23)$$

$$\nabla_{\mu} = \pi \frac{P_{-1/2+\mu}(-\cos \gamma_2)}{P_{-1/2+\mu}(-\cos \gamma_1)} \Delta_{\mu}^{(1),0}(\pi - \gamma_1, \pi - \gamma_2) +$$

$$+ 2Q \cos \mu, \quad \nabla_{\mu_n} = 0,$$

где  $Q_{-1/2+\mu}(\operatorname{ch} b)$  – функция Лежандра второго рода. Представление (22) получено из (16) в результате разложения интеграла (после перехода в (16) к интегрированию по мнимой оси:  $\mu = it$ ) в ряд по вычетам подынтегральной функции в ее простых полюсах  $\mu_n(Q, \gamma_1, \gamma_2)$ , которые являются корнями уравнения (23). На рис. 2 приведены зависимости значений  $\mu_0$ ,  $\mu_1$  от параметра заполнения  $Q$  при  $\gamma_2 = \frac{\pi}{8}$  и различных углах  $\gamma_1$ . Последовательность значений  $\{\mu_n\}_{n=0}^{+\infty}$  является монотонно возрастающей. Наименьшее из них  $\mu_0$  определяет поведе-

ние поля вблизи вершины структуры и его пространственное распределение в случае близкого расположения источника к вершине.

Таким образом, предложен и обоснован метод решения краевых задач дифракции волн во временной области на сложных трехмерных незамкнутых конических структурах. Он является обобщением результатов авторов [3, 9] применительно к решению задач дифракции волн на незамкнутых идеально проводящих биконусах в частотной области. Такой подход может быть использован также при решении нестационарных задач дифракции волн на трехмерных незамкнутых импедансных структурах конической геометрии.

#### СПИСОК ЛИТЕРАТУРЫ

- Дорошенко В.А., Сологуб В.Г. // РЭ. 1987. Т. 32. № 5. С. 1110–1112.
- Дорошенко В.А., Кравченко В.Ф. // ДАН. 2000. Т. 375. № 5. С. 611–614.
- Дорошенко В.А., Кравченко В.Ф. // Электромагнит. волны и электрон. системы. 2003. Т. 8. № 6. С. 2–78.
- Фок В.А. // ДАН. 1943. Т. 39. № 7. С. 279–283.
- Дорошенко В.А., Кравченко В.Ф. // Дифференц. уравнения. 2003. Т. 39. № 9. С. 1209–1213.
- Ладыженская О.А. Краевые задачи математической физики. М.: Наука, 1973.
- Хенл Х., Маэ А., Вестфаль К. Теория дифракции. М.: Мир, 1964.
- Chan K.-K., Felsen L.B. // IEEE Trans. on Ant. and Propagat. 1977. V. 25. № 6. P. 802–806.
- Дорошенко В.А. // Успехи соврем. радиоэлектроники. 2005. № 5. С. 41–52.
- Шестопалов В.П. Метод задачи Римана–Гильберта в теории дифракции и распространения электромагнитных волн. Харьков: Изд-во Харьк. ун-та, 1971.
- Фелсен Л., Маркувич Н. Излучение и рассеяние волн. М.: Мир, 1978. Т. 1, 2.